arXiv:math/0201260v1 [math.GT] 27 Jan 2002

Nœuds non concordants à un C-bord.

M. BOILEAU et L. RUDOLPH[1]

RESUME

Un entrelacs orienté L dans S^3 est un **C**-bord s'il borde dans la boule B^4 un morceau de courbe algébrique. En utilisant la preuve récente de Kronheimer et Mrowka de la Conjecture de Thom, on construit beaucoup de nceuds orientés qui ne sont pas concordants a un **C**-bord. Dans le cas ou S^3 est le bord strictement pseudo-convexe de B^4, en utilisant Ie polynome à deux variables HOMFLY, on donne une obstruction pour un entrelacs à etre un **C**-bord.

ABSTRACT

An oriented knot L in S^3 is a **C**-boundary if it bounds a piece of algebraic curve in the ball B^4. Using Kronheimer and Mrowka's recent proof of the Thom Conjecture, we construct many oriented knots which are not concordant to a **C**-boundary. We use the two-variable HOMFLY polynomial to give an obstruction to a knot's being a **C**-boundary in a strictly pseudoconvex S^3.

[1] Partially supported by NSF grant DMS-9504832.

Nœuds non concordants à un C-bord.

M. BOILEAU et L. RUDOLPH

§ 0 - **Introduction.**

Un entrelacs est une réunion finie de cercles disjoints plongés de façon lisse dans la sphère S^3. Un nœud est un entrelacs connexe.

En identifiant S^3 avec le bord d'une sphère ronde dans $\mathbf{C}^2, \{(z, \omega) \in \mathbf{C}^2 \mid |z|^2 + |\omega|^2 = R^2\}$ on peut construire beaucoup d'entrelacs intéressants comme intersection transverse de S^3 avec une courbe algébrique plane, par exemple : les entrelacs algébriques des singularités isolées de courbes algébriques planes lorsque $R << 1$ ([EN], [Le], [Mi]), les entrelacs à l'infini de courbes algébriques planes lorsque $R >> 1$ ([Ne], [NR], [R$_1$]), mais aussi beaucoup d'autres entrelacs comme les entrelacs admettant une présentation sous forme de tresses fermées quasipositives ([R$_2$], [R$_3$], [R$_4$], [R$_5$], [R$_6$], [R$_7$], [R$_8$]).

Ceci conduit à donner la définition suivante :

0.1. Définition. *On dit qu'un entrelacs orienté L dans S^3 est un $\mathbf{C}$-bord s'il existe une boule lisse $B^4 \subset \mathbf{C}^2$ et une courbe algébrique plane éventuellement singulière $V \subset \mathbf{C}^2$ qui rencontre transversallement ∂B^4 et telle que les paires (S^3, L) et $(\partial B^4, \partial B^4 \cap V)$ soient difféomorphes par un difféomorphisme préservant les orientations ; la paire $(\partial B^4, \partial B^4 \cap V)$ étant naturellement orientée par l'orientation complexe de B^4 et de V.*

Dans ($[R_4]$) le second auteur a montré que l'on peut réaliser toute matrice de Seifert d'un entrelacs orienté, comme matrice de Seifert d'un entrelacs quasipositif, en particulier d'un **C**-bord. Il s'en suit qu'aucun invariant calculable à partir d'une matrice de Seifert ne peut dire si un entrelacs orienté est un **C**-bord, ni même s'il est concordant à un **C**-bord.

Le but de cette note est d'utiliser la preuve récente par Krohneiner et Mrowka $[KM_{1,2}]$ (cf. aussi [R$_{12}$], [R$_{13}$]) de la conjecture de Thom locale (ou bien, leur preuve plus récente - et peut-être plus simple - de la conjecture de Thom globale ([KM$_3$])) pour construire beaucoup de nœuds orientés qui ne sont pas concordants à un nœud **C**-bord.

0.2. Remarques.

1) Dans la définition d'un **C**-bord, on n'impose pas à la boule lisse $B^4 \subset \mathbf{C}^2$ d'avoir un bord strictement pseudo-convexe.

Dans le cas où le bord de la boule B^4 est strictement pseudo-convexe, on dira que l'entrelacs orienté L est un *spc*-**C**-bord. C'est le cas de tous les entrelacs **C**-bords connus actuellement, et en particulier des entrelacs algébriques, des entrelacs à l'infini des courbes algébriques planes et des entrelacs quasipositifs.

Il est important de noter que l'existence d'invariants, permettant de décider si un nœud ou entrelacs orienté est un **C**-bord, reste un problème ouvert. Par contre, le polynôme à 2 variables HOMFLY permet de donner une condition nécessaire pour qu'un entrelacs orienté soit un *spc*-**C**-bord (cf. § 3). Cette condition était connue pour les entrelacs quasipositifs [R$_7$], [R$_9$], [R$_{10}$].

2) Lorsque ∂B^4 est strictement pseudo-convexe, on dit qu'un plongement lisse γ d'une famille disjointe de cercles dans ∂B^4 est polynomialement convexe si son enveloppe convexe polynomiale dans $\mathbf{C}^2$ est réduite à γ. Avec cette terminologie, d'après Stolzenberg [St], un *spc*-**C**-bord est un entrelacs qui admet un plongement lisse dans ∂B^4 qui n'est pas polynomialement convexe. Un des buts de cette note est donc de construire des nœuds dans ∂B^4 pour lesquels **tout plongement** est polynomialement convexe. En général un plongement d'un nœud dans ∂B^4 est seulement génériquement polynomialement convexe (cf. [Sch]).

§ 1 - **C-bord et grand genre de Murasugi.**

Le but de ce paragraphe est d'étudier le comportement du grand genre de Murasugi (cf. [BW]) des **C**-bord sous l'opération de somme connexe.

Nous commençons par rappeler la définition d'une concordance entre deux entrelacs orientés, ainsi que celle du grand genre de Murasugi.

1.1. Définition. *Deux entrelacs orientés L_0 et L_1 sont dits concordants s'il existe un plongement lisse* $\Phi : \coprod_{i=1}^{r} S^1_i \times [0,1] \to S^3 \times [0,1]$ *tel que :*

i) $\Phi^{-1}(S^3 \times \{0\}) = \coprod_{i=1}^{r} S^1_i \times \{0\} = L_0$

$$\Phi^{-1}(S^3 \times \{1\}) = \coprod_{i=1}^{r} S^1_i \times \{1\} = L_1$$

ii) *le bord orienté de la paire* $(S^3 \times [0,1], Im\Phi)$ *est* $(S^3 \times \{0\}, L_0) \amalg (S^3 \times \{1\}, -L_1)$.

On sait calculer à partir d'une forme de Seifert d'un entrelacs orienté des invariants de concordance, comme la signature. Dans cette note nous utiliserons un invariant plus géométrique, mais aussi plus difficile à calculer, qui est le grand genre de Murasugi (ou grand genre dans la boule B^4) d'un entrelacs orienté.

Etant donné un entrelacs orienté L dans S^3 vu comme le bord de la boule B^4, il existe des surfaces compactes orientées Σ^2 proprement plongées de façon lisse dans B^4 et dont le bord orienté est L. Une telle surface est appelée surface de Murasugi lisse de l'entrelacs orientée L ([Mu], cf. aussi [BW]).

Pour une surface à bord Σ^2, on appelle grand genre de Σ^2, et on note $G(\Sigma^2)$, le genre de la surface fermée obtenue en collant un disque troué le long des composantes du bord de Σ^2. On a alors la relation suivante avec la caractéristique d'Euler de Σ^2 : $\chi(\Sigma^2) = r - 2G(\Sigma^2)$, où r est le nombre de composantes connexes de bord de Σ^2.

1.2. Définition. *Soit L un entrelacs orienté dans S^3, on appelle grand genre de Murasugi de L, et on note $M(L)$, le plus petit des grands genres des surfaces de Murasugi lisses pour L. (cf. [BW]).*

Clairement, le grand genre de Murasugi d'un entrelacs orienté est un invariant de la classe de concordance lisse de cet entrelacs. Dans le cas d'un nœud, il s'agit du genre de Murasugi classique (cf. [Mu]).

Récemment, P. Kronheimer et T. Mrowka ([$\text{KM}_{1,2}$], cf. aussi [KM_3]) ont démontré le résultat suivant :

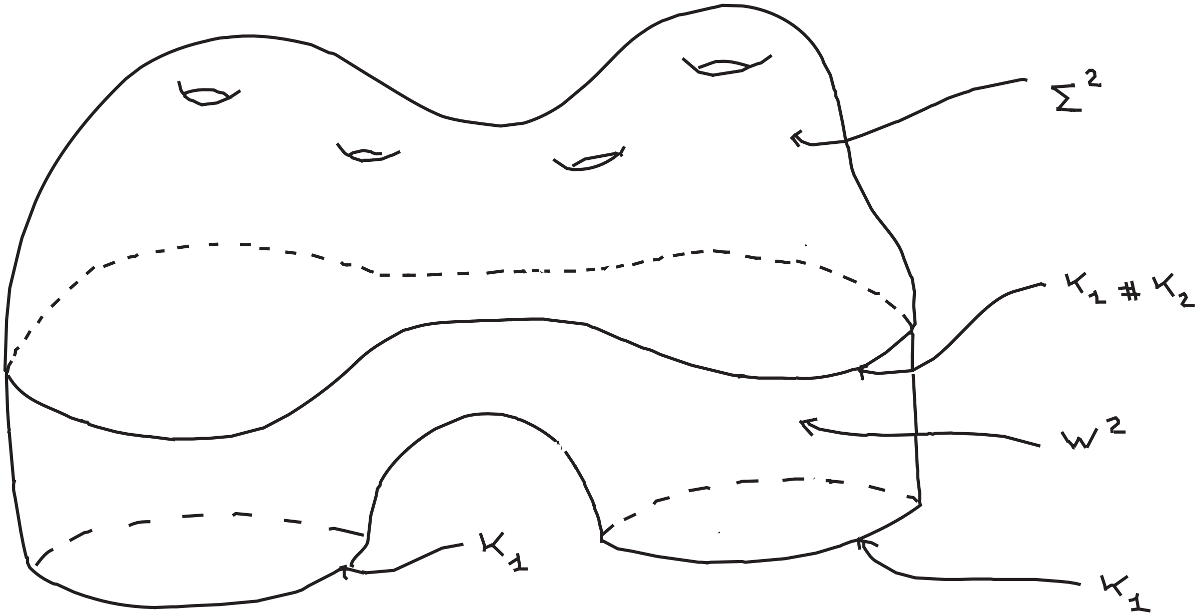
1.3. Théorème ([$KM_{1,2}$])**.** *Soient V une courbe algébrique lisse dans $\mathbf{C}^2$ transverse au bord d'une boule B^4 plongée de façon lisse dans $\mathbf{C}^2$ et $L = \partial B^4 \cap V$ un $\mathbf{C}$-bord dans ∂B^4. Alors $M(L) = G(V \cap B^4)$.* □

Une application surprenante de ce résultat est la propriété suivante qui est cruciale pour construire des entrelacs qui ne sont pas concordants à des **C**-bords.

1.4. Proposition. *Soit $L_1 \# L_2$ la somme connexe de deux entrelacs orientés concordants à des $\mathbf{C}$-bords. Alors $M(L_1 \# L_2) \geq M(L_1) + M(L_2) - 1$.*

Preuve. Puisque l'opération de somme connexe est compatible avec la relation de concordance, il suffit de démontrer la proposition dans le cas où L_1 et L_2 sont des **C**-bords. Soient $L_1 = \bigcup_{i=1}^{r_1} K_{i,1}$ et $L_2 = \bigcup_{j=1}^{r_1} K_{j,2}$ deux **C**-bords. Soit $L_1 \# L_2$ la somme connexe de L_1 et L_2 telle que $L_1 \# L_2 = \big(K_{1,1} \# K_{1,2}\big) \cup \bigcup_{i=1}^{r_1} K_{i,1} \cup \bigcup_{j=2}^{r_2} K_{j,2}$.

On peut alors construire un cobordisme lisse W^2 dans $S^3 \times [0,1]$ entre $L_1 \# L_2$ dans $S^3 \times \{0\}$ et l'entrelacs scindé $L_1 \amalg L_2$ dans $S^3 \times \{1\}$. Ce cobordisme, proprement plongé de façon lisse dans $S^3 \times [0,1]$, est la réunion disjointe d'une surface planaire ayant 3 composantes de bord $(K_{1,1} \# K_{1,2}) \cup K_{1,1} \cup K_{1,2}$ et d'anneaux joignant les autres composantes de $L_1 \# L_2$ aux composantes correspondantes de $L_1 \amalg L_2$. (cf. Figure où $r_1 = r_2 = 1$).



Soit Σ^2 une surface lisse proprement plongée dans B^4, de bord $L_1 \# L_2$ et de grand genre $G(\Sigma^2) = M(L_1 \# L_2)$. Alors, la surface $\Sigma^2 \bigcup_{L_1 \# L_2} W^2$ borde l'entrelacs orienté scindé $L_1 \amalg L_2$ dans $B'^4 = B^4 \bigcup_{\partial B^4 = S^3 \times \{0\}} S^3 \times [0,1]$. Il en découle immédiatement l'inégalité : $M(L_1 \# L_2) = G(\Sigma^2) \geq M(L_1 \amalg L_2) - 1$.

Puisque L_1 et L_2 sont des **C**-bords, l'entrelacs orienté scindé $L_1 \amalg L_2$ est un **C**-bord, bord de la réunion (disjointe) des deux morceaux de courbes algébriques planes bordées par L_1 et L_2 dans B^4. Le résultat de Kronheimer et Mrowka (Theorem. 1.3)

entraîne alors que $M(L_1 \amalg L_2) = M(L_1) + M(L_2)$. D'où l'inégalité $M(L_1 \# L_2) \geq M(L_1) + M(L_2) - 1$. ∎

1.5. Remarque : L'inégalité obtenue dans la proposition 1.4 donne une grande restriction sur les classes de concordances des **C**-bords. En général, $M(L) - 1$ est loin d'être suradditif par somme connexe. Un exemple frappant (qui sera exploité dans la construction des nœuds non concordants à un **C**-bord) est le fait que pour un nœud quelconque K, $M(K \# K^*) = 0$, où K^* est obtenu en prenant l'image de K dans un miroir et en renversant son orientation (cf. 2.1). En particulier, on a le corollaire immédiat de la proposition 1.4.

1.6. Corollaire. *Soit K un **C**-bord, alors K est soit nul concordant, soit d'ordre infini dans le groupe de concordance lisse des nœuds orientés de S^3.*

Preuve. Soit K un **C**-bord. Si K est d'ordre fini p dans le groupe de concordance lisse des nœuds orientés de S^3, alors $0 = M(K \# K \# \cdots \# K) \geq pM(K) - (p-1)$; d'où $M(K) = 0$ et K est nul concordant. ∎

1.7. Remarque. Dans [R_{12}], le second auteur montre que les doubles itérés non tordus positifs, d'une tresse positive sont des nœuds fortement quasipositifs, en particulier des **C**-bords. De même les nœuds de bretzel $K(p,q,r)$ tels que p,q,r sont premiers, différents de ± 1 et vérifient $qr+rp+pq = -1$, sont des **C**-bords, (cf. [R_{12}]). Ces nœuds ont la propriété d'avoir un polynôme d'Alexander trivial et donc, d'après M. Freedman [F], sont topologiquement nul concordants, c'est-à-dire bordent dans B^4 un disque topologique localement plat, proprement plongé.

Dans [R_{12}][R_{13}], le second auteur montre que ces nœuds ne sont pas nul concordants de façon lisse. Il découle du Corollaire 1.6. que tous ces nœuds sont en fait d'ordre infini dans le groupe de concordance lisse.

En fait, il existe un homomorphisme naturel du groupe de concordance lisse $\mathcal{K}_{Diff}$ dans le groupe de concordance topologique localement plate $\mathcal{K}_{Top}$, dont le noyau contient des éléments d'ordre infini (cf.[CG], [Go]). Le Corollaire 1.6 permet ainsi d'exhiber beaucoup d'éléments d'ordre infini dans ce noyau. La question suivante est à notre connaissance toujours ouverte (cf.[CG], [Go]).

Question 1. *Le noyau de l'homomorphisme naturel $h : \mathcal{K}_{Diff} \to \mathcal{K}_{Top}$ contient-il un sous-groupe abélien de rang infini ?*

Cette question est liée à la question suivante :

Question 2. *Deux nœuds K et K', fortement quasipositifs et qui sont concordants dans la catégorie lisse, sont-ils équivalents (i.e. existe-t-il un difféomorphisme préservant l'orientation de S^3 et envoyant K sur K')?*

1.8. Remarque. Une réponse positive à la question 2 implique une réponse positive à la question 1.

Rappelons qu'un nœud ou entrelacs orienté L est dit fortement quasipositif s'il est le bord d'une surface de Seifert dans S^3 obtenue comme surface tressée (ou de Markov) à partir d'une présentation en tresse fermée quasipositive de L (cf. $[R_3], [R_6], [R_8], [R_{11}]$).

Une réponse positive à la question 2 implique que le noyau de l'homomorphisme $h : \mathcal{K}_{Diff} \to \mathcal{K}_{Top}$ contient le sous-groupe abélien de rang infini engendré par tous les nœuds fortement quasipositifs de polynôme d'Alexander trivial. En effet, d'après le Corollaire 1.6 tous ces nœuds sont d'ordre infini dans $\mathcal{K}_{Diff}$ (cf. aussi $[R_{12}], [R_{13}]$). Ils sont de plus linéairement indépendants puisque la somme connexe de deux nœuds fortement quasipositifs est un nœud fortement quasipositif. D'autre part cette famille de nœuds est infini car elle contient tous les doubles positifs non tordus des nœuds toriques $T_{p,q}$ (cf $[R_{12}]$).

Pour un entrelacs L fortement quasipositif, on sait que son miroire L^* n'est jamais quasipositif. Dans le cas des **C**-bords on a :

1.9. Corollaire. *Soit L un* **C***-bord dans S^3. Si le miroire L^* de L est un* **C***-bord, alors L est un entrelacs nul concordant, c'est-à-dire $M(L) = 0$.*

Preuve. Si L et L^* sont des **C**-bords, alors :

$0 = M(L \# L^*) \geq M(L) + M(L^*) - 1 = 2M(L) - 1$; d'où $M(L) = 0$. ∎

§ 2 - Nœuds non concordants à un nœud C-bord.

Dans cette section nous ne considérons que des nœuds orientés.

2.1. Définition. *Soit K un nœud orienté dans S^3, on note K^* le nœud orienté dans S^3 obtenu en prenant l'image de K par un difféomorphisme de S^3 renversant l'orientation de S^3 et en renversant son orientation.*

On rappelle l'opération de somme connexe par bande de deux nœuds orientés K_1 et K_2.

2.2. Définition. *Soient* K_1 *et* K_2 *deux nœuds orientés plongés dans* S^3 *de façon qu'il existe une sphère* S^2 *qui les sépare. Soient l'intervalle* $I = [0,1]$ *et* $b : I \times I \to S^3$ *un plongement lisse tel que* $b^{-1}(K_1) = \{0\} \times [0,1]$, $b^{-1}(K_2) = \{1\} \times [0,1]$ *et les orientations sur* K_1 *et* K_2 *sont compatibles avec l'orientation de* $I \times I$. *On appelle somme connexe par bande* b *de* K_1 *et* K_2, *le nœud orienté*

$$K_1 \#_b K_2 = \Big\{ K_1 \amalg K_2 - b\big(b^{-1}(K_1 \amalg K_2)\big)\Big\} \cup b(I \times I\Big\}.$$

Dans le cas où l'image de la bande Imb rencontre la sphère S^2 qui sépare K_1 de K_2 uniquement le long d'un arc de la forme $b(* \times I)$, on obtient la somme connexe usuelle $K_1 \# K_2$ de K_1 et K_2. Quelle que soit la bande b, le nœud orienté $K_1 \#_b K_2$ est concordant à $K_1 \# K_2$. Mais, en général $K_1 \#_b K_2$ est un nœud premier.

Nous pouvons maintenant énoncer :

2.3. Théorème. *Soit* K *un nœud orienté quelconque dans* S^3. *Soit* J *un nœud orienté concordant à un* **C**-*bord, et tel que* $M(J) > M(K)$. *Alors aucune somme connexe par bande* $K \#_b J^*$ *n'est concordante à un* **C**-*bord.*

Preuve. Puisque $K \#_b J^*$ est concordant à $K \# J^*$, il suffit de démontrer le théorème pour $K \# J^*$. Supposons que $K \# J^*$ est concordant à un **C**-bord. Alors, puisque J est concordant à un **C**-bord, la proposition 1.4 entraîne l'inégalité :
$M\big((K \# J^*) \# J\big) \geq M(K \# J^*) + M(J) - 1$.

D'autre part, comme la somme connexe est associative, $(K \# J^*) \# J = K \# (J^* \# J)$. Or $J^* \# J$ est nul concordant, d'où $K \# (J^* \# J)$ est concordant à K et $M\big((K \# J^*) \# J\big) = M(K)$.

On obtient donc $M(K) \geq M(J) + M(K \# J^*) - 1$, ce qui contredit l'hypothèse, puisque $M(K \# J^*) \geq 1$ et $M(J) > M(K)$. $\square$

La construction donnée par le Théorème 2.3 permet de montrer :

2.4. Corollaire. *Il existe des nœuds orientés, premiers, d'ordre infini dans le groupe de concordance lisse tels que ni* K, *ni* K^* *ne sont concordants à un* **C**-*bord.*

Preuve. Soient K_1 et K_2 deux **C**-bords tels que $M(K_1) = M(K_2)$ et $M(K_1 \# K_2^*) \geq 2$. D'après $[KL]$ il existe un nœud K premier concordant à $K_1 \# K_2^*$.

La démonstration du Théorème 2.3 montre que K n'est pas concordant à un $\mathbf{C}$-bord. De même, puisque K^* est concordant à $K_1^* \# K_2$, la démonstration du Théorème 2.3 implique que K^* n'est pas concordant à un $\mathbf{C}$-bord. $\square$

Nous allons construire d'autres exemples de nœuds non concordants à un $\mathbf{C}$-bord par la méthode de satellisation.

Soit K un nœud orienté dans S^3 et J un nœud orienté dans un tore solide standard, non noué et plongé dans S^3. On peut aussi considérer J comme un nœud orienté dans S^3. Soit $N(K)$ un voisinage tubulaire de K et $f : V \to N(K)$ un difféomorphisme préservant l'orientation et qui envoie la longitude standard de V sur celle du nœud K. On note alors $K(J)$ le nœud orienté dans S^3 obtenu comme l'image $f(J)$ de J par f dans $N(K) \subset S^3$.

On appelle ordre de J dans V, le nombre minimal t de points d'intersection de J avec un disque méridien de V. On appelle nombre de tours de J dans V, le nombre ω d'intersection algébrique de J avec un disque méridien de V. On dit alors que $K(J)$ est obtenu par satellisation de J le long de K avec ordre t et nombre de tours ω.

On obtient la condition nécessaire suivante pour qu'un nœud obtenu par satellisation ne soit pas concordant à un $\mathbf{C}$-bord :

2.5. Théorème. *Soit K un nœud orienté dans S^3. Soit J un nœud orienté dans un tore solide non noué standard V, d'ordre t et de nombre de tours ω. On suppose que J^* en tant que nœud dans S^3 est concordant à un $\mathbf{C}$-bord et que l'on a l'inégalité $M(J) > |\omega| M(K) + \frac{1}{2}(t - |\omega|) + 1$. Alors le nœud orienté $K(J)$, obtenu par satellisation de J le long de K avec ordre t et nombre de tours ω, n'est pas concordant à un $\mathbf{C}$-bord.*

Preuve. Supposons que $K(J)$ est concordant à un $\mathbf{C}$-bord. Puisque J^* est concordant à un $\mathbf{C}$-bord, la proposition 1.4 implique que $M\big(K(J)\#J^*\big) \geq M\big(K(J)\big) + M(J^*) - 1$. D'autre part, on peut effectuer la somme connexe avec J^* dans une petite boule contenue dans le voisinage tubulaire $N(K)$ de K, d'où $K(J)$ est équivalent à un nœud obtenu en satelisant $J\#J^*$ autour de K avec un ordre t et un nombre de tours ω, que l'on notera $K(J\#J^*)$.

D'après [Sh], puisque $J\#J^*$ est nul concordant, on a l'inégalité $M\big(K(J\#J^*)\big) \leq |\omega| M(K) + \frac{1}{2}(t - |\omega|)$. D'où l'inégalité $M\big(K(J)\big) + M(J^*) \leq |\omega| M(K) + \frac{1}{2}(t - |\omega|) + 1$, qui contredit l'hypothèse puisque $M(J^*) = M(J)$ et $M\big(K(J)\big) \geq 0$. $\square$

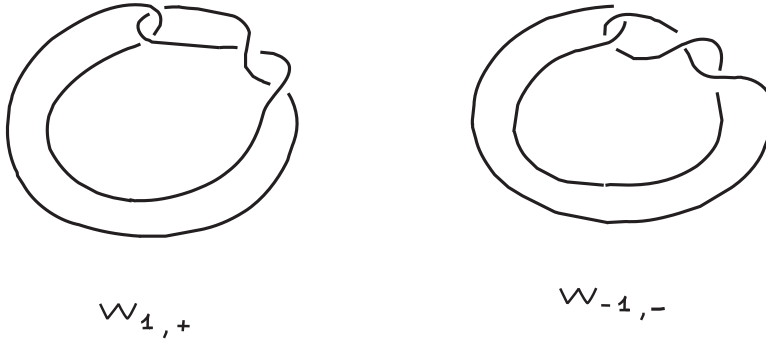
Nous allons appliquer le Théorème 2.5 à des satellisations particulières.

Rappelons que pour $p \in \mathbf{Z}$ et $q \geq 2$, le $(p,q)-$cable d'un nœud orienté K est le nœud $K(p,q)$ obtenu par satellisation du nœud torique $T(p,q)$ autour du nœud K avec ordre et nombre de tours $t = |\omega| = q \geq 2$. De plus, $T^*(p,q) = T(-p,q)$.

2.6. Corollaire. *Soient K un nœud orienté quelconque dans S^3, p et q deux entiers ≥ 2 tels que $(p-1)(q-1) > 2qM(K)+1$. Alors le $(-p,q)-$cable, $K(-p,q)$, de K n'est jamais concordant à un* **C***-bord. En particulier il existe des nœuds toriques itérés qui ne sont pas concordants à un* **C***-bord.*

Preuve. D'après $[KM_{1,2}]$, (cf. Théorem. 1.3), $M\big(T_{(p,q)}\big) = \frac{1}{2}(p-1)(q-1)$. Comme $t = |\omega| = q$, la condition $(p-1)(q-1) > 2qM(K)+1$ équivaut à celle du Théorème 2.5. $\square$

Nous allons maintenant considérer le cas des nœuds doubles. Rappelons que le double (au sens de Whitehead [Wh]), $D(K\rho,\varepsilon)$, d'un nœud K, correspond au nœud satellite $K(W_{\rho,\varepsilon})$, où le nœud $W_{\rho,\varepsilon}$ dans le tore solide standard V correspond au bord d'un disque avec un clasp de signe $\varepsilon = +$ ou $-$ et admettant ρ tours complets comme sur la figure.



D'après $[R_8]$, le nœud orienté $W_{\rho,\varepsilon}$ est quasipositif, donc un **C**-bord, lorsque $\varepsilon = +$ et $\rho < 0$. De plus le second auteur a montré $[R_5]$ que pour tout nœud orienté K, il existe un entier $q(K)$ tel que pour tout entier $\rho \leq q(K)$, le nœud orienté

$D(K;\rho;+)$ est quasipositif $\big(q(K)$ est le module de quasipositivité de K, ou bien l'invariant de Thurston Bennequin $TB(K), cf.[R_{13}]\big)$.

Dans le cas des doubles négatifs $D(K;\rho,-)$ nous avons :

2.7. Corollaire. *Le double négatif $D(K;\rho,-)$ d'un nœud orienté nul concordant K, avec $\rho > 0$ tours, n'est jamais concordant à un* **C***-bord.*

Preuve. Le nœud oriente $W\rho,\ -\rho > 0$ est un nœud qui a pour signature $\sigma(\omega_{\rho,-}) = -2$. Il n'est donc pas nul concordant. Comme $D(K;\rho,-)$ et $W_{\rho,-}$ ont les mêmes invariants d'Alexander, il en découle que $D(K;\rho,-)$ n'est pas nul concordant, et donc $M\big(D(K;\rho,-)\big) = 1$.

Si on suppose que $D(K;\rho,-)$ est concordant à un **C**-bord pour $\rho > 0$, la preuve du Théorème 2.4 montre que : $M\big(D(K;\rho,-)\#W^*_{\rho,-}\big) \geq M\big(D(K;\rho,-)\big) + M(W^*_{\rho,-}) - 1$ car $W^*_{\rho,-} = W_{-\rho,+}$ est un **C**-bord $[R_5]$.

Comme $W_{\rho,-}$ n'est pas nul concordant, $M(W_{\rho,-}) = M(W^*_{\rho,-}) = 1$. D'où $M\big(D(K;\rho,_-)\#W^*_{\rho,-}\big) \geq 1$.

D'un autre côté $D(K;\rho,_-)\#W^*_{\rho,-}$ est obtenu par satellisation d'ordre 2 et de nombre de tours 0 du nœud $W_{\rho,-}\#W^*_{\rho,-}$ le long du nœud nul concordant K.

Il découle de $[Sh]$ que : $M\big(D(K;\rho,-)\#W^*_{\rho,-}\big) = 0$, ce qui donne la contradiction. $\square$

§ 3 - Une obstruction à être un *spc*-C-bord.

Pour l'instant, tous les entrelacs **C**-bords connus vérifient en fait une condition plus restrictive qui en fait des *spc*-**C**-bords.

3.1. Définition. *On dit qu'un entrelacs orienté L est un spc-***C***-bord s'il est obtenu comme intersection transverse d'une courbe algébrique plane dans $\mathbf{C}^2$ et du bord strictement pseudo-convexe d'une boule lisse $B^4 \subset \mathbf{C}^2$.*

Bien qu'on ne connaisse aucun exemple explicite, il serait étonnant que tout **C**-bord soit un *spc*-**C**-bord. On ne connait aucune obstruction numérique pour un entrelacs orienté à être un **C**-bord. Par contre, la condition de stricte pseudo-convexité du bord de la boule B^4 dans la construction des *spc*-**C**-bords permet

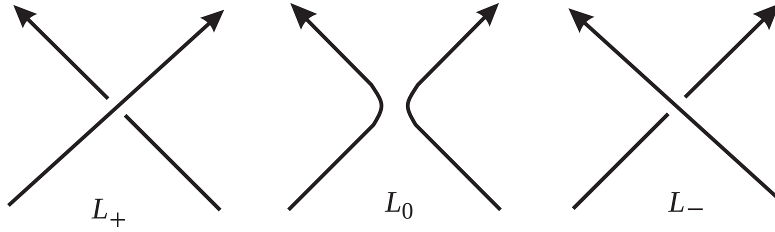
d'étendre au cas des *spc*-**C**-bords une obstruction déjà connue pour les entrelacs quasipositifs (cf. [R_9]). Ce résultat conforte en particulier la conjecture suivante du second auteur :

Conjecture. *Un entrelacs orienté qui est un spc-***C***-bord admet une présentation sous forme de tresse fermée quasipositive.*

Dans ce paragraphe on démontre cette conjecture pour certains entrelacs arborescents alternés, et en particulier pour les entrelacs à 2 ponts.

L'obstruction à être un *spc*-**C**-bord utilise le polynôme à 2 variables d'un entrelacs orienté (HOMFLY), nous commençons par rappeler sa définition en utilisant pour les variables les notations de [Mo] (cf. [R_9][R_{10}]).

Soit L un entrelacs orienté dans S^3. On note $P_L(v,z) \in \mathbf{C}[v^{\pm 1}, z^{\pm 1}]$ le polynôme de Laurent à 2 variables (ou polynôme HOMFLY) associé à l'entrelacs L et défini récursivement par :



L_+, L_- et L_0 sont trois entrelacs dont les projections sont identiques, excepté en un seul croisement comme indiqué sur la Figure.

$P_0(v,z) = 1$, si 0 est le nœud trivial

$P_{L_+}(v,z) = vzP_{L_0}(v,z) + v^2 P_{L_-}(v,z)$.

En considérant $P_L(v,z)$ comme un polynôme de Laurent en v à coefficients dans $\mathbf{C}[z^{\pm 1}]$, on obtient : $P_L(v,z) = \Sigma_{i=d}^{D} g_i(z) v^i$, $g_i(z) \in \mathbf{C}[z^{\pm 1}]$.

On définit alors $Ord_v P_L = d$, la valuation en v de P_L. Le Théorème suivant permet de relier $Ord_v P_L$ et le grand genre de Murasugi $M(L)$, lorsque L est un *spc*-**C**-bord.

3.2. Théorème [BR]**.** *Soit L un entrelacs orienté dans S^3 ayant r composantes connexes. Si L est un spc-$\mathbf{C}$-bord, alors $Ord_v P_L \geq 1 - r + 2M(L)$.*

Preuve. Soit $L = \partial B^4 \cap V$ un *spc*-$\mathbf{C}$-bord, où $V \subset \mathbf{C}^2$ est une courbe algébrique transverse au bord strictement pseudo-convexe de la boule $B^4 \subset \mathbf{C}^2$.

On peut toujour supposer, aprèes une petite perturbations, que V est lisse. Puisque B^4 est à bord strictement pseudo-convexe, la structure complexe de $\mathbf{C}^2$ induit sur ∂B^4 la structure de contacte canonique [El]. Par construction, L est un entrelacs transverse à cette structure de contact. On obtient ainsi (après une isotopie transverse [Be, Thm 10]) une présentation en tresse fermée $\widetilde{\beta}$ de L qui vérifie la relation (cf. [La], [Be], [Sch]) : $e(\widetilde{\beta}) - n(\widetilde{\beta}) = -\chi(V \cap B^4)$, où $e(\widetilde{\beta})$ est la longueur algébrique de la tresse $\widetilde{\beta}$ et $n(\widetilde{\beta})$ son nombre de brins. D'après Krohneimer-Mrowka [$\mathrm{KM}_{1,2}$] (cf. Théorème 1.3) $\chi(V \cap B^4)$ est la plus grande des caractéristiques d'Euler des surfaces lisses proprement plongées dans B^4 et de bord L. D'où, $\chi(V \cap B^4) - \Sigma\mu_i = r - 2M(L)$.

D'après l'inégalité de Frank-Williams [FW] et Morton [Mo], $Ord_v P_L \geq e(\widetilde{\beta}) - n(\widetilde{\beta}) + 1$, pour toute présentation en tresse fermée $\widetilde{\beta}$ de L. On en déduit alors l'inégalité cherchée. $\square$

Le Corollaire suivant est immédiat :

3.3. Corollaire. *Soit L un entrelacs orientée dans S^3 ayant r composantes de bord. Si L est un spc-$\mathbf{C}$-bord, alors $Ord_v P_L \geq 1 - r$.* $\square$

Dans le cas d'un nœud K, si $\sigma(K)$ désigne la signature de K, d'après K. Murasugi [Mu], on a $|\sigma(K)| \leq 2M(K)$. D'où, on obtient :

3.4. Corollaire. *Soit K un nœud orienté dans S^3. Si K est un spc-$\mathbf{C}$-bord, alors $Ord - v\ P_K \geq |\sigma(K)|$.* $\square$

Nous appliquons maintenant la Proposition 3.2 à une famille d'entrelacs orientés arborescents alternés qui contient en particulier les entrelacs à 2 ponts.

Rappelons d'abord l'opération de plombage. Dans ce qui suit on note $A(0; n)$ la surface de Seifert formée par une bande orientée d'âme non nouée et tordue par $2n$ demi-tours positifs si $n \geq 0$ et négatifs si $n \leq 0$. Le bord de la bande porte

l'orientation induite par celle de la bande. Par exemple, $A(0,-1)$ désigne la bande de Hopf dont le bord est l'entrelacs algébrique de Hopf.

Etant donné une surface de Seifert $F \subset S^3$ orientée et $\alpha \subset F$ un arc proprement plongé (i.e. $\alpha \cap F = \partial\alpha$), on note $F * A(0;n)$ la surface orientée obtenue par plombage de la bande $A(0;n)$ sur F le long de l'arc α, par la construction suivante :

Soit $B^3 \subset S^3$ une boule telle que $F \subset B^3$ et $F \cap B^3 = N(\alpha)$, un voisinage régulier de α dans F. On recole alors la bande $A(0;n)$ à la surface F le long de $N(\alpha)$ de telle sorte que :

i) $A(0;n) \subset S^3 - B^3$

ii) $A(0;n) \cap \partial B^3 = N(\alpha)$

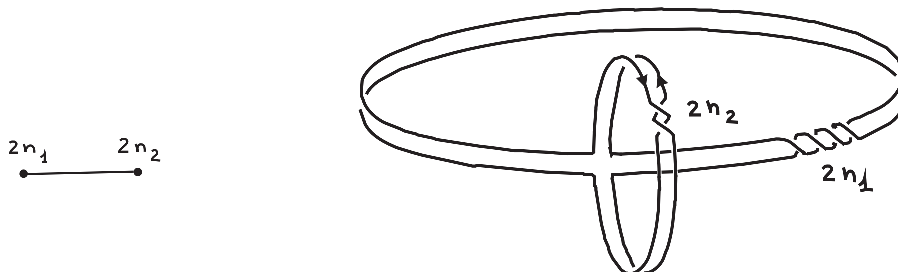
iii) $\partial A(0;n) \cap \partial B^3 = \overline{\partial N(\alpha) - \partial F}$

iv) chaque composante connexe de $\partial F \cap N(\alpha)$ est un arc essentiel dans $A(0;n)$.

Etant donné un arbre planaire pondéré par des poids pairs, on peut lui associer une surface de Seifert orientée bien définie, à isotopie près, dans S^3 et obtenue par plombage successifs de bandes tordues $A(0;n)$, $n \in \mathbf{Z}$, comme suit :

- à chaque sommet pondéré e de poids $2n(e)$, on associe une bande tordue $A(0;n(e))$.

- à chaque arête correspond une opération de plombage des deux bandes tordues, associées aux sommets de l'arête, le long d'un arc essentiel sur chacune des bandes (cf. Figure).



Etant donné un arbre planaire pondéré T, on considère la famille $T_1, \cdots, T_k$ des sous-arbres de T obtenus en supprimant toutes les arêtes de T qui joignent deux sommets ayant des poids de signes opposés. Tous les sommets de chacun des arbres T_i, $i = 1, \cdots, k$, ont des poids de même signe. On appelle $\{T_1, \cdots, T_k\}$

une décomposition uniforme de T. On peut alors toujours supposer que les arbres $T_i, i = 1, \cdots, s$, ont tous des sommets de poids positifs, tandis que ceux des arbres $T_j, j = s+1, \cdots, k$, sont négatifs.

On dit qu'un arbre planaire T, pondéré par des poids pairs, est **fortement excessif** s'il existe une décomposition uniforme $\{T_1, \cdots, T_k\}$ de T telle que les poids $2n(e)$ de chaque arbre $T_i, i = 1, \cdots, k$, vérifient :

a) $n(e) \neq 0$ pour chaque sommet $e \in T_i$

b) $|n(e)| \geq v(e) - 1$ où $v(e)$ est la valence du sommet e dans T_i.

Par exemple tout arbre linéaire, pondéré par des poids pairs et non nuls, est fortement excessif.

3.5. Définition. *On appelle entrelac arborescent pair, fortement excessif, l'entrelacs orienté qui est le bord de la surface de .Seifert orientée, obtenue par plombages successifs de bandes tordues, suivant un arbre planaire pondéré par des poids pairs et fortement excessif. (cf. [MP, chap. III]).*

Par exemple, tout entrelacs orienté à 2 ponts est un entrelacs arborescent pair fortement excessif. En particulier tout entrelacs arborescent pair et fortement excessif est alterné (cf. [MP, chap. III]).

Pour cette famille d'entrelacs orientés, on a une caractérisation des *spc*-**C**-bord.

3.6. Proposition. *Un entrelacs arborescent pair et fortement excessif est un spc-***C***-bord si et seulement si tous les poids de l'arbre pondéré associé sont strictement négatifs.*

Preuve. D'après [R_8], un entrelacs arborescent pair L est fortement quasipositif si et seulement si tous les poids de l'arbre pondéré associé sont strictement négatifs. En particulier un tel entrelacs orienté est un *spc*-**C**-bord.

Supposons que L est un entrelacs orienté arborescent pair et fortement excessif, associé à un arbre pondéré T. D'après [MP, chap. III, 12,21] on a : $Ord_v P_L = p + q - 2 \sum_{n_i > 0} n_i - 2s$, où p est le nombre de sommets de T de poids négatifs, q celui des sommets de poids positifs, $2n_i > 0$ sont les poids positifs de T et s est le nombre de sous-arbres de la décomposition uniforme de T dont les sommets portent des poids positifs.

D'autre part, puisque L est un entrelacs arborescent pair, on a d'après [R$_8$] : $M(L) \geq \frac{1}{2}(r-1+p-q)$.

Si L est un *spc*-**C**-bord, il découle de la Proposition 3.2 que : $Ord_v P_L \geq p-q$.

On en déduit alors l'inégalité : $2q - 2\sum_{n_i>0} n_i - 2s \geq 0$.

Puisque l'arbre T est fortement excessif, pour chaque sommet de poids positifs $2n_i \geq 1$, d'où $2q-2\sum_{n_i>0} n_i \leq 0$. Il en résulte qu'en fait $s=0$, et que tous les poids de l'arbre pondéré T sont donc strictement négatifs. ∎

On obtient en particulier comme corollaire :

3.7. Corollaire. *Un entrelacs arborescent pair fortement excessif (en particulier un entrelacs orienté à 2 ponts) est un spc-**C**-bord si et seulement s'il est fortement quasipositif.*

BIBLIOGRAPHIE.

[Be] D. BENNEQUIN, "Entrelacements et équations de Pfaff", Astérisque 107-108, (1983), 87-161.

[BR] M. BOILEAU et L. RUDOLPH, "Une obstruction topologique à ce qu'un nœud dans le bord strictement pseudo-convexe d'une boule B^4 borde un morceau de courbe algébrique", à paraître (1995).

[BW] M. BOILEAU et C. WEBER, "Le Problème de J. Milnor sur le nombre gordien des nœuds algébriques", Mono. n° 31 de l'Enseignement Math., Nœuds, Tresses et Singularités, (1983), 49-98.

[CG] T.D. COCHRAN et R.E. GOMPF, "Application of Donaldson's theorems to classical knot concordance, homology 3-spheres and Property P", Topology 27, (1988), 495-512.

[EN] D. EISENBUD et W. NEUMANN, "Three-dimensional link theory and invariants of plane curve singularities", Annals of Math. Studies 110, (1985), Princeton University Press.

[El] Ya. ELIASHBERG, "Filling by holomorphic disks and its applications", London Math. Soc. Lect. Notes Ser. 151 (1991), 45-67.

[F] M. FREEDMAN, “A Surgery sequence in dimension 4 ; the relations with knot concordance”, Invent. Math. 68 (1982), 195-226.

[FW] J. FRANKS et R. WILLIAMS, “Braids and the Jones-Conway polynomial”, T.A.M.S. 303 (1987), 97-108.

[Go] R.E. GOMPF, “Smooth concordance of topologically slice knots”, Topology 25 (1986), 353-373.

[KL] R. KIRBY et W. LICKORISH “Prime knots and concordance” Math. Proc. Cambridge Philos. Soc. 86 (1979), 437-441.

[$KM_{1,2}$] P. KRONHEIMER et T. MROWKA, “Gauge theory for embedded surfaces”, **I** : Topology 32 (1993), 773-826 - **II** : to appear in Topology.

[KM_3] P. KRONHEIMER et T. MROWKA, “The genus of embedded surfaces in the projective plane”, Math. Res. Letters 1 (1994), 797-808.

[La] H. LAUFER, “On the number of singularities of an analytic curve”, T.A.M.S. 186 (1969), 527-535.

[Lê] LE D.T., “Sur les nœuds algébriques”, Compositio Math. 25 (1972), 281-321.

[Mi] J. MILNOR, “Singular points of complex hypersurfaces”, Ann. of Math. Studies 61 (1968), Princeton University Press.

[Mo] H. MORTON “Seifert circles and knot polynomials”, Math. Proc. Camb. Phil. Soc. 99 (1986), 107-110.

[Mu] K. MURASUGI “On certain numerical invariant of link types” T.A.M.S. 117 (1965), 387-422.

[MP] “K. MURASUGI et J.H. PRZYTYCKI, “An Index of a Graph with Applications to Knot Theory” Memoirs of A.M.S. 508 - Vol. 106 (1993).

[Ne] W. NEUMANN, “Complex algebraic plane curves via their links at infinity”, Invent. Math. (1989), 445-489.

[NR] W. NEUMANN et L. RUDOLPH, “Unfoldings in knot theory”, Math. Annalen 278 (1987), 409-439 ; corrigendum ibid. (1988).

[R_1] L. RUDOLPH, “Embeddings of the line in the plane”, J. Reine Ange. Math. 337 (1982), 113-118.

[R_2] L. RUDOLPH, “Algebraic functions and closed braids”, Topology 22 (1983), 191-202.

[R_3] L. RUDOLPH, "Braided surfaces and Seifert ribbons for closed braids", Comm. Math. Helv. 58 (1983), 1-37.

[R_4] L. RUDOLPH, "Construction of quasipositive knots and links I", Mono. n° 31 de l'Enseignement Math., Nœuds, Tresses et Singularités, (1983), 233-345.

[R_5] L. RUDOLPH, "Construction of quasipositive knots and links II, Contemp. Math. 35 (1984), 485-491.

[R_6] L. RUDOLPH, "A characterisation of quasipositive Seifert surfaces (Constuctions of quasipositive knots and links III), Topology 31 (1992), 231-237.

[R_7] L. RUDOLPH, "Quasipositive Annuli (Constructions of quasipositive knots and links IV), J. Knot Theory Ramif 1 (1993), 451-466.

[R_8] L. RUDOLPH, "Quasipositive plumbing (Constructions of quasipositive knots and links V), preprint (1990, 1995).

[R_9] L. RUDOLPH, "A congruence between link polynomials", Math. Proc. Camb. Phil. Soc. 107 (1990), 319-327.

[R_{10}] L. RUDOLPH, "Quasipositivity and new knot invariants" Rev. Mat. Univ. Complutense Madrid 2 (1989), 85-109.

[R_{11}] L. RUDOLPH, "Special positions for surfaces bounded by closed braids", Rev. Math. Iberoamericana 1 (1985), 93-133.

[R_{12}] L. RUDOLPH, "Quasipositivity as an obstruction to sliceness", Bull. Am. Math. Soc. 29 (1993), 51-59.

[R_{13}] L. RUDOLPH, "An obstruction to sliceness via contact geometry and 'classical' gauge theory", Invent. Math. 119 (1995), 155-163.

[R_{14}] L. RUDOLPH, "Totally tangential links of intersection of complex plane curves with round spheres", Topology '90, de Gruyter (1992), 343-349.

[Sch] N.V. SCHERBINA, "Traces of pluriharmonic functions on the boundaries of analytic varieties", Math. Z. 213 (1993), 171-177.

[Shi] T. SHIBUYA, "On 4-dimensional genera of compound knots", Kobe Math. Sem. Notes 8 (1980), 299-305.

[St] G.P.STOLZENBERG, "Uniform approximation on smooth curves", Acta Math. 115 (1966), 185-198.

[Wh] J.H.C. WHITEHEAD, "On doubled knots", J. London Math. Soc. 12 (1937), 63-71.

M. BOILEAU, Laboratoire Topologie et Géometrie, URA CNRS 1408, Université Paul Sabatier 31062 TOULOUSE Cédex France

L. RUDOLPH, Department of Mathematics and Computer Science, Clark University, 950 Main Street, Worcester, Massachusetts 01610 USA